



مطالعه تاثیر شرایط عملیاتی روی عملکرد فرآیند تبدیل کاتالیستی پالایشگاه اصفهان با بکارگیری شبیه‌ساز پتروسیم

ابوالفضل عسکری^{*}^۱، هجیر کریمی^۲ و محمود رضا رحیمی^۲

^۱ دانشجوی کارشناسی ارشد، دانشکده فنی و مهندسی، گروه مهندسی شیمی، دانشگاه یاسوج

^۲ استادیار دانشکده فنی و مهندسی، گروه مهندسی شیمی، دانشگاه یاسوج

* aboalfazl_askari@yahoo.com

پذیرش: ۹۱/۰۲/۰۹ دریافت:

چکیده

در این مطالعه، واحد تبدیل کاتالیستی پالایشگاه اصفهان با استفاده از نرم افزار پتروسیم^۱ شبیه‌سازی شده و اثر حضور برشهای مختلف در خوراک، تغییرات دما راکتورها و نسبت H_2/HC بر روی خاصیت‌های محصول مورد بررسی قرار گرفته است. علاوه بر این، واحد تبدیل کاتالیستی براساس سینتیک مدل اسمیت نیز شبیه‌سازی شده است و دقت مدل نسبت به داده‌های واقعی مورد ارزیابی قرار گرفته است. نتایج نشان می‌دهد که چنانچه کل جریان محصول تولیدی نفتای سنگین واحد آبزوماکس که عنوان یکی از جریان‌های تامین کننده خوراک واحد تبدیل کاتالیستی در نظر گرفته شده است، به خوراک واحد اضافه گردد، دبی جریان و عدد اکتان محصول نهایی افزایش نسبی می‌یابد. همچنین نتایج نشان می‌دهد که افزایش نسبت H_2/HC در خوراک، اگرچه باعث افزایش عدد اکتان می‌گردد ولی بازدهی^۲ محصولات آروماتیکی را کاهش می‌دهد. در حالت کلی، افزایش دما باعث افزایش عدد اکтан و بازدهی محصولات آروماتیکی می‌گردد.

واژگان کلیدی: واحد تبدیل کاتالیستی، شبیه‌ساز پتروسیم، مدل اسمیت

¹ Petro-SIM

² Yield



مقدمه

دانسیته آروماتیک‌ها از پارافین‌ها و نفتان‌ها بیشتر است. واکنش پذیری از باندهای غیراشباع باعث شده تولید هیدروکربن‌های $8,7,6^2$ کربن‌^۲ شود، این دسته از آروماتیک‌ها در صنعت پتروشیمی به عنوان محصول با ارزش تولید می‌شوند. آروماتیک‌ها دارای عدد اکتان بالاتری نسبت به پارافین‌ها و نفتان‌ها و همچنین نفتان‌ها دارای عدد اکтан بیشتری نسبت به پارافین‌ها می‌باشد. نفتایی که مستقیماً از برج تقطیر اتمسفری حاصل می‌شود، SRG گفته می‌شود. نفتا، همچنین از دیگر فرآیندهای جزء سنگین نفت خام نیز حاصل می‌شود (از قبیل نفتای کراکینگ کاتالیزوری، نفتای شکست ویسکوز، نفتای ککسازی و....). دمای جوش اکثر جزء‌های تشکیل شده نفتای سبک بین $50-90^{\circ}\text{C}$ و بیشتر حاوی هیدروکربن‌های ۵ و ۶ کربن‌ه می‌باشد. دمای جوش اکثر جزء‌های تشکیل شده نفتای متوسط زیر 50°C و بیشتر حاوی هیدروکربن‌های $7-9$ کربن‌ه می‌باشد. دمای جوش اکثر جزء‌های تشکیل شده نفتای سنگین بین $90-180^{\circ}\text{C}$ و بیشتر حاوی هیدروکربن‌های ۹ و ۱۰ کربن‌ه می‌باشد. ترکیب نفتا بستگی به نوع نفت خام، محدوده دمای جوش نفتا و اینکه آیا مستقیماً از برج تقطیر اتمسفری پالایشگاه یا واحدهای دیگر از جمله کراکینگ حرارتی^۳ یا کاتالیستی^۴ جزء‌های سنگین‌تر برش‌های نفتی تولید شده باشند، بستگی دارد. یک نمونه نفتای میان برشی از تقطیر اتمسفری شامل 40 تا 70 درصد وزنی پارافین‌ها، $20-50$ درصد وزنی نفتان‌ها، $5-20$ درصد وزنی آروماتیک‌ها و فقط دارای صفر تا 2 درصد وزنی اولفین‌ها می‌باشد.

² Benzene, Toluene, Xylene

³ Thermal cracking

⁴ Catalytic cracking

خوارک واحد تبدیل کاتالیستی نفتا نام دارد. در این واحد هیدروکربن‌ها با عدد اکتان پایین، به هیدروکربن‌ها با عدد اکتان بالا تبدیل می‌شوند. نفتای تبدیل شده دارای هیدروکربن‌های پیچیده شامل پارافین‌ها، نفتان‌ها و آروماتیک‌ها در محدوده 5 تا 12 کربن‌ه می‌باشند.

ترکیبات نفتا: پارافین‌ها یا آلکان‌ها، هیدروکربن‌های اشباع آلیفاتیک با فرمول عمومی $\text{C}_n\text{H}_{2n+2}$ که بصورت هیدروکربن‌های خطی (نرمال پارافین‌ها) و یا به صورت شاخه‌دار (پارافین‌های ایزومری) می‌باشند. نقطه جوش پارافین‌ها به ازای هراتم کربن در مولکول حدود $25-30$ درجه سانتی‌گراد افزایش می‌یابد. در تعداد کربن یکسان نقطه جوش نرمال پارافین‌ها از ایزو پارافین‌ها بیشتر است. آلکن‌ها یا اولفین‌ها، هیدروکربن‌های غیراشباع آلیفاتیک با فرمول عمومی C_nH_{2n} که همانند پارافین‌ها بصورت خطی و یا شاخه‌دار می‌باشند. نفتان‌ها یا سیکلو آلکن‌ها، هیدروکربن‌های سیکلی اشباع با فرمول عمومی C_nH_{2n} می‌باشند که ساختار آن‌ها دارای حداقل یک حلقه می‌باشد. در خوارک‌های نفتی حلقه‌های $5-6$ کربن‌ه به فراوان دیده شده است. این حلقه‌ها می‌توانند زنجیره‌های هیدروکربنی به آنها متصل شده باشد. در تعداد کربن‌های یکسان، نقطه جوش و دانسیته نفتان‌ها از پارافین‌ها بیشتر است. آروماتیک‌ها، هیدروکربن‌های یک یا چند حلقوی پلی غیر‌اشباع شده^۱ با فرمول عمومی $\text{C}_n\text{H}_{2n-6}$ می‌باشند. این حلقه‌های بنزنی می‌توانند زنجیره‌های پارافینی یا حلقه‌های نفتی یا بنزنی به آن متصل شده باشد. در تعداد کربن‌های یکسان، نقطه جوش و

¹ Conjugated double bonds

شبیه سازی و مدل سازی فرآیند

شکل (۱)، شمای ساده شده فرآیند تبدیل کاتالیستی پالایشگاه اصفهان در شبیه ساز پتروسیم را نشان می دهد. خوراک نفتای ورودی با هیدروژن جریان برگشتی با خلوص ۹۰-۷۰ درصد مولی، ترکیب شده و پس از عبور از مبدل حرارتی و کوره به دمای عملیاتی طراحی شده برای راکتورها می رسد.

نفتای تولید شده در واحدهای کراکینگ کاتالیستی بستر سیال^۱ واحد کک سازی^۲، واحد شکست ویسکوز^۳ شامل ۵۰-۳۰ درصد وزنی اولفین ها می باشد. در جدول (۱)، چند نوع جریان نفتا با ترکیب های متفاوت نشان داده شده است [۱]. در پالایشگاه اصفهان، حدود ۸۰ درصد حجمی خوراک واحد تبدیل کاتالیستی از محصولات نفتای برج تقطیر اتمسفری و مابقی آن از نفتای سنگین واحد آیزوماکس^۴ (واحد هیدروکراکینگ) تامین می شود. در این مطالعه اثر ترکیبات مختلف خوراک بر ویژگی محصول تولید شده از واحد، مورد بررسی قرار می گیرد.

جدول ۱- یک نمونه آنالیز ترکیبات متفاوت خوراک (بر حسب درصد وزنی) در جریان نفتا

با نوع نفت خام ورودی یکسان به پالایشگاه را نشان می دهد [۱]

جریان	پارافین	لوفین	نفتا	آروماتیک-	IBP^a - FBP^b ($^{\circ}C$)
<i>Light SR^c</i>	۵۵	-	۴۰	۵	C_8-90
<i>Medium SR</i>	۳۱	-	۵۰	۱۶	۹۰-۱۵۰
<i>Heavy SR</i>	۳۰	-	۴۴	۲۶	۱۵۰-۱۸۰
<i>FCC</i>	۳۴	۲۳	۱۱	۳۲	C_8-220
<i>Light VB</i>	۶۴	۱۰	۲۵	۱	C_8-90
<i>Heavy VB^d</i>	۴۶	۳۰	۱۶	۸	۹۰-۱۵۰

^a: دمای جوش اولیه، ^b: دمای جوش نهایی، ^c: SR: محصولات

نفتای برج تقطیر اتمسفری، ^d: VB: محصولات نفتای واحد شکست

¹ FCC

² Coking

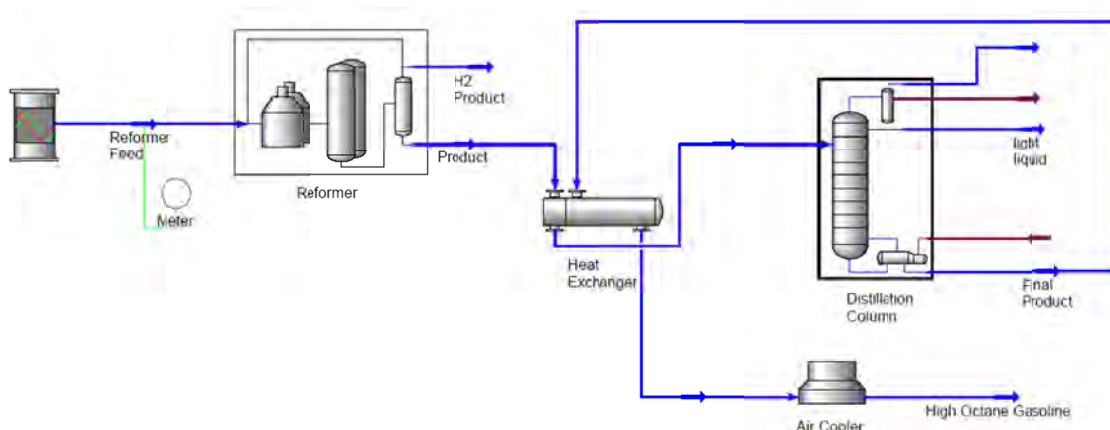
³ Visbreaking

⁴ Isomax unit

می‌شود و محصول نهایی بعد از جداسازی گازهای سبک تولید می‌شود. محصول نهایی واکنش‌هایی که بیشتر تولید مواد آروماتیک در آنها مورد نظر است بر روی کاتالیست دو عاملی مانند Pt-Re/Al₂O₃ در ۴ راکتور پشت سر هم انجام می‌گیرد.

تعداد واکنش‌های انجام شده در واحد تبدیل کاتالیستی بسیار زیاد می‌باشد، این واکنش‌ها تاکنون به ۶ گروه کلی طبقه بندی شده است. ۱- هیدروژن‌زدایی ۲- ایزومریزاسیون ۳- هیدروکراکینگ ۴- حلقه‌زایی ۵- هیدروژن‌ولیز ۶- آروماتیک سازی.

تعداد راکتورهای واحد ریفرمینگ ۴ عدد و بصورت بستر ثابت می‌باشد. از آنجا که واکنش اصلی واحد ریفرمینگ یعنی تبدیل نفت ن به آروماتیک گرمگیر می‌باشد و برای حفظ دمای عملیاتی واکنش‌ها بین راکتورها، کوره‌هایی تعییه شده است. سیال خروجی از آخرین راکتور پس از سرد شدن وارد ستون تقطیر آنی می‌شود. بخشی از گازهای تولید شده از ستون به عنوان گاز برگشتی با خوراک ترکیب می‌شود و گازهای مازاد به واحدهای تولیدی هیدروژن فرستاده می‌شود. مایع خروجی از ستون به همراه گازهای سبک به عنوان محصول، به برج ثبیت کننده فرستاده



شکل ۱: دیاگرام ساده شده فرآیند واحد تبدیل کاتالیستی در شبیه ساز پتروسیم

راکتور شماره ۳: دمای ورودی ۵۰۳ °C، فشار ورودی ۲۵/۷ bar، افت دما ۱۴ °C، حجم کاتالیست بارگیری شده ۱۹/۴ m³

راکتور شماره ۴: دمای ورودی ۵۰۳ °C، فشار ورودی ۲۳/۵ bar، افت دما ۶ °C، حجم کاتالیست بارگیری شده ۳۸/۸ m³

دانسیته کاتالیست ۵.۱۰۶ kg/m³، دمای پیش‌گرم خوراک ۴۱۳ °C، افت فشار آخرین راکتور ۱ bar، دبی جریان برگشتی ۱۵۱/۵ MMSCFD.

اطلاعات عملیاتی مورد نیاز برای شبیه سازی واحد تبدیل کاتالیستی

راکتور شماره ۱: دمای ورودی ۵۰۳ °C، فشار ورودی ۲۸/۵ bar، افت دما ۶۰ °C، حجم کاتالیست بارگیری شده ۷/۷۶ m³

راکتور شماره ۲: دمای ورودی ۵۰۳ °C، فشار ورودی ۲۷/۱ bar، افت دما ۳۵ °C، حجم کاتالیست بارگیری شده ۱۱/۶۴ m³



فشارکندانسور جزیی $16/5$ bar، فشارریبویلر $.27/5$ bar

جدول (۲) آنالیز یک نمونه خوراک نفتای ورودی به واحد تبدیل کاتالیستی پالایشگاه اصفهان را نشان می‌دهد:

ستون تبخیر ناگهانی: دما 38°C ، 20 bar
خلوص هیدروژن $0/79$

ستون تقطیر: تعداد سینی 36 ، سینی خوراک 19 ،
دما خوراک 147°C ، دما کندانسور 38°C ، دما اولین سینی بالای برج 125°C ،
دما آخرین سینی پایین برج 230°C ، دبی حجمی جریان بالای برج 1200 bbl/day

جدول ۲: یک نمونه خوراک آنالیز شده

درصد حجمی	خوراک نفتا
$0/0$	هیدروژن، متان، اتان، پروپان، ایزوپوتان، نرمال بوتان، پارافین‌های ۵ کربن
$56/3$	پارافین‌های $11, 6, 7, 8, 9, 10$ کربن
$31/2$	نفتانهای $6, 7, 8, 9, 10, 11$ کربن
$12/5$	بنزن، تولوئن، آروماتیک‌های $6, 7, 8, 9, 10, 11$ کربن

به پارافین‌ها 3 - هیدروکراکینگ پارافین‌ها 4 - هیدروکراکینگ نفتانهای مدل سینتیک آرنیوس برای مدل اسمیت در نظر گرفته شده است. مدل‌های سینتیک دیگری از جمله زهروف، هنینگسن، کمارک و مارین $[6-3]$ برای فرآیند ریفرمینگ ارایه شده است. کمارک برای اولین بار، از مدل سینتیک لانگمیر در فرآیند تبدیل کاتالیستی استفاده کرد. در مدل سینتیکی دیگری که توسط مارین و همکارانش پیشنهاد شده است، نفتا شامل هیدروکربن‌های 5 تا 10 کربن و مجموعه شبکه واکنش‌ها در این مدل شامل 23 شبه اجزاء می‌باشد. در سال 1997 ، مدل فرمنت $[7]$ توسط تسکار گسترش پیدا کرد و خوراک در این مدل شامل 35 شبه اجزا و 36 واکنش در مجموعه شبکه واکنش‌ها تعریف شده است $[8]$. در سال 1997 ، یک مدل معروف توسط پادماواچی $[9]$ ارایه شد.

به دلیل تعداد زیاد مواد واکنش دهنده و واکنش‌ها در واحد تبدیل کاتالیستی، مدل‌سازی این واحد می‌تواند بر اساس تعداد مواد شرکت کننده و سینتیک واکنش‌ها انجام گیرد.

برای کاهش پیچیدگی‌ها در گروه‌های محدود و مشخص به نام شبه اجزاء، اجزای واکنش دهنده‌ها طبقه بندی می‌شوند. تعداد شبه اجزاء انتخاب شده در خوراک، مشخصه اصلی مدل‌های ارایه شده می‌باشد. در اینجا بعضی از مدل‌های ارایه شده، بصورت مختصر ذکر می‌شوند:

اولین مدل سینتیکی، توسط اسمیت $[2]$ برای فرآیند تبدیل کاتالیستی پیشنهاد شد. در این مدل او فرض کرد که نفتا شامل 3 گروه بنیادی پارافین‌ها، نفتانهای و آروماتیک‌ها می‌باشد. در مدل اسمیت، هیدروژن و گازهای سبک متان، اتان، پروپان، بوتان و پنتان نیز در نظر گرفته شده است. واکنش‌های مدل اسمیت عبارتند از:-
تبدیل نفتانهای به آروماتیک‌ها 2 - تبدیل نفتانهای

ترکیبات متفاوت خوراک فرآیند تبدیل کاتالیستی بر خاصیت محصولات، مورد مطالعه قرار نگرفته است.

محصول نهایی واحد تبدیل کاتالیستی بنزین با عدد اکتان بالا می‌باشد. دو ویژگی اصلی محصول نهایی، دبی حجمی جریان و عدد اکتان می‌باشد. دو پارامتر کاهش فعالیت کاتالیست در اثر تشکیل کک بر روی سطح آن در طول زمان و تغییر در ترکیبات مختلف خوراک باعث تغییر در این دو ویژگی می‌گردد. در این مقاله، واحد تبدیل Petro-SIM ۳.۲ کاتالیستی، با استفاده از نرم افزار [۱۴] شبیه‌سازی شده است. داده‌های عملیاتی مربوط به شروع راه اندازی می‌باشد، به دلیل اینکه در شروع از راه اندازی اثر غیر فعال شدن کاتالیست ناچیز و قابل صرف نظر می‌باشد، پس تنها تغییرات در ترکیبات مختلف خوراک بر دو ویژگی اصلی محصول تاثیر گذار می‌باشد که در این مطالعه مورد بررسی قرار گرفته است در این مطالعه، اثر تغییرات دما و نسبت H_2/HC در خوراک بر عدد اکтан و بازدهی محصولات آромاتیکی، نفتی و پارافینی قابل مشاهده است. علاوه بر این، بار دیگر واحد تبدیل کاتالیستی بر اساس مدل سینتیک اسمیت برای راکتورها شبیه‌سازی شده است.

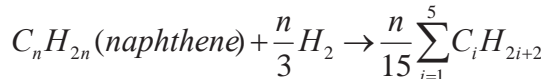
مدل سینتیکی اسمیت برای فرآیند تبدیل کاتالیستی

خوراک مدل اسمیت در سه گروه طبقه بندی می‌شود: پارافین‌ها، نفت‌ها، آروماتیک‌ها، علاوه بر این هیدروژن، متان، اتان، پروپان، بوتان و پنتان در نظر گرفته شده است.

در این مدل خوراک شامل ۲۶ شبه اجزا در یک مجموعه شبکه واکنش می‌باشند. مجموعه شبکه اجزاء خوراک در این مدل عبارتند از: ۱- آلکیل سیکلو هگزان ۲- آلکیل سیکلوپنتان ۳- نرمال پارافین‌ها ۴- ایزو پارافین‌ها ۵- آروماتیک‌ها ۶- هیدروژن ۷- هیدروکربن‌های سبک (از ۱-۵ کربن). مدل اصلاح شده کرن، مدل آنچیتا [۱۰] نام دارد که در آن خوراک نفتا شامل ۱۱ پارافینی، ۱۱ نفتی و هیدروکربن‌های آروماتیکی می‌باشد. در واقع تفاوت مدل آنچیتا با کرن در این است که در مدل آنچیتا واکنش شکل گیری سیکلو هگزان از سیکلوپنتان و ایزومرهای پارافین‌ها در نظر گرفته شده است. لیانگ و همکاران، [۱۱] یک مدل فیزیکی برای شبیه‌سازی واحد تبدیل کاتالیستی با ۴ راکتور پشت سرهم ارایه کردند. معادلات حاکم ترمودینامیکی و سینتیکی در واکنش‌های تبدیل کاتالیستی، بر اساس ایده‌آل سازی مخلوط نفتا، حاوی گروه‌های تک ترکیبی از نفت، پارافین و آروماتیک می‌باشد. سیف محدثی و همکاران در سال (۲۰۰۸) [۱۲] واحد تبدیل کاتالیستی پالایشگاه تهران را با نرم‌افزار هایسیس ریفاینری شبیه‌سازی کردند و تاثیر پارامترهای LHSV، دما را روی عدد اکтан مورد بررسی قرار دادند و نهایتاً در نتایج آنها، توزیع بار وزنی کاتالیست روی راکتورها به حالت بهینه رسید. پیشتر، سیف محدثی و همکاران در سال (۲۰۰۶) [۱۳] راکتورهای فرآیند تبدیل کاتالیستی پالایشگاه تهران را به کمک پتروسیم شبیه‌سازی و ارزیابی مدل استفاده شده توسط پتروسیم را با دمای خروجی راکتورها در طول زمان راه اندازی مورد بررسی قراردادند. نتایج آنها نشان داده است که مدل پتروسیم با داده‌های واقعی سازگاری داشته است. تاکنون هیچ‌کاری در مورد تاثیر



۳- هیدروکراکینگ نفتنهای:



ثابت سرعت واکنش عبارت است از:

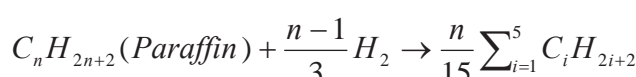
$$-r_{\text{naphthalene-cracking}} = \frac{k_{f3}}{P_t} p_p$$

$$k_{f3} = e^{(42.97 - \frac{62300}{T})}, \frac{\text{moles}}{(\text{hr})(\text{lbcat})}$$

ثابت آرنیوس و انرژی فعال سازی واکنش عبارت
است از:

$$k_0 = 42.97, E_a/R = 61224$$

۴- هیدروکراکینگ پارافینها:



ثابت سرعت واکنش عبارت است از:

$$-r_{\text{paraffin-cracking}} = \frac{k_{f4}}{P_t} p_p$$

$$k_{f4} = e^{(42.97 - \frac{62300}{T})}, \frac{\text{moles}}{(\text{hr})(\text{lbcat})}$$

ثابت آرنیوس و انرژی فعال سازی واکنش عبارت
است از:

$$k_0 = 42.97, E_a/R = 62857$$

واکنشهای مدل اسمیت به چهار گروه مطابق زیر

طبقه بندی شده است [۱۳]:

۱- تبدیل نفتنهای به پارافینها:



ثابت سرعت واکنش عبارت است از:

$$K_{el} = e^{(-7.12 + \frac{8000}{T})}, \text{atm}^{-1}$$

$$k_{f1} = e^{(3598 - \frac{59600}{T})}, \frac{\text{moles}}{(\text{hr})(\text{lbcat})(\text{atm})^2}$$

ثابت آرنیوس و انرژی فعال سازی واکنش عبارت
است از:

$$k_0 = 26.74, E_a/R = 58591$$

۲- تبدیل نفتنهای به آروماتیکها:



ثابت سرعت واکنش عبارت است از:

$$K_{e2} = e^{(4615 - \frac{46045}{T})}, \text{atm}^3$$

$$k_{f2} = e^{(23.21 - \frac{34750}{T})}, \frac{\text{moles}}{(\text{hr})(\text{lbcat})(\text{atm})^2}$$

ثابت آرنیوس و انرژی فعال سازی واکنش عبارت
است از:

$$k_0 = 18.59, E_a/R = 34807$$

نتایج و بحث‌ها

می‌باشد و محصول نهایی واحد حدود bbl/day می‌باشد و محصول نهایی واحد حدود ۱۸۲۰۰-۱۶۷۰۰ بنزین با محدودهٔ عدد اکتان ۹۵/۵-۸۸ تولید می‌شود. علت تغییرات در محدودهٔ دبی جریان و عدد اکتان، کاهش فعالیت کاتالیست با گذر زمان از شروع راهاندازی و تغییرات در ترکیبات خوراک می‌باشد. در پالایشگاه اصفهان، حدود ۸۰ درصد حجمی خوراک از واحد نقطی اتمسفری و حدود ۲۰ درصد حجمی از نفتای سنگین واحد آیزوماکس تأمین می‌شود.

نمونه‌برداری‌هایی از خوراک واحد در زمان‌های مختلف نشان داده است که ترکیب حجمی خوراک (پارافین‌ها، نفتان‌ها و آروماتیک‌ها) و همچنین توزیع غلظت اجزای خوراک متفاوت است. با استفاده از واحد شبیه‌سازی شده، تاثیر تغییر ترکیبات اجزای خوراک روی ویژگی‌های محصول نهایی مطالعه گردید، نتایج در شکل‌های (۲-۴) ارایه شده است. خط توپر و خط بریده به ترتیب مربوط به تغییرات عدد اکтан و دبی جریان محصول نهایی می‌باشد). علایم و نشانه معادل فارسی کلیه محورهای نمودارها در بخش انتهایی مقاله ذکر شده است.

نرم افزار پتروسیم یک شبیه ساز فرآیندهای پالایشگاهی است که با استفاده از این نرم افزار و مدل‌های دقیق تعریف شده در آن، می‌توان فرآیندهای پالایشگاهی را به دقت شبیه‌سازی کرد و در ادامه با تغییر پارامترهای فرآیندی، نتایج را مشاهده و شرایط بهینه را محاسبه کرد. به بیان دیگر، با استفاده از این نرم افزار می‌توان در هر واحد تصمیم گیری‌های عملیاتی را بهبود بخشد و در نتیجه خطاهای انسانی و فرآیندی را کاهش داد. واحد تبدیل کاتالیستی پالایشگاه اصفهان با استفاده از نرم افزار پتروسیم و با اعمال شرایط عملیاتی شبیه‌سازی شده است. بار دیگر واحد تبدیل کاتالیستی با استفاده از تعریف واکنش‌های مدل اسمیت و اعمال سینتیک آرنیوس در چهار راکتور پشت سرهم جریان قالبی^۱، شبیه‌سازی شده است. نتایج این دو شبیه‌سازی در جدول شماره ۳ ارایه شده است. نتایج نشان داده است که مدل سینتیک اسمیت در شروع از راهاندازی واحد، با داده‌های واقعی از پالایشگاه اصفهان، سازگاری نداشته است.

خوراک واحد تبدیل کاتالیستی پالایشگاه اصفهان حدود ۲۲۵۰ bbl/day با عدد اکтан ۴۵

1. Plug



جدول ۳: مقایسه نتایج شبیه‌سازی با داده‌های واقعی

داده های عملیاتی	نرم افزار پتروسیم	مدل اسمیت	داده های واقعی
دبی جریان محصول نهایی [bbl/day]	۱۷۸۷۰	۱۸۸۳۰	۱۷۹۰۰
عدد اکتان محصول نهایی	۹۴/۹۴	۹۳/۳	۹۵/۲

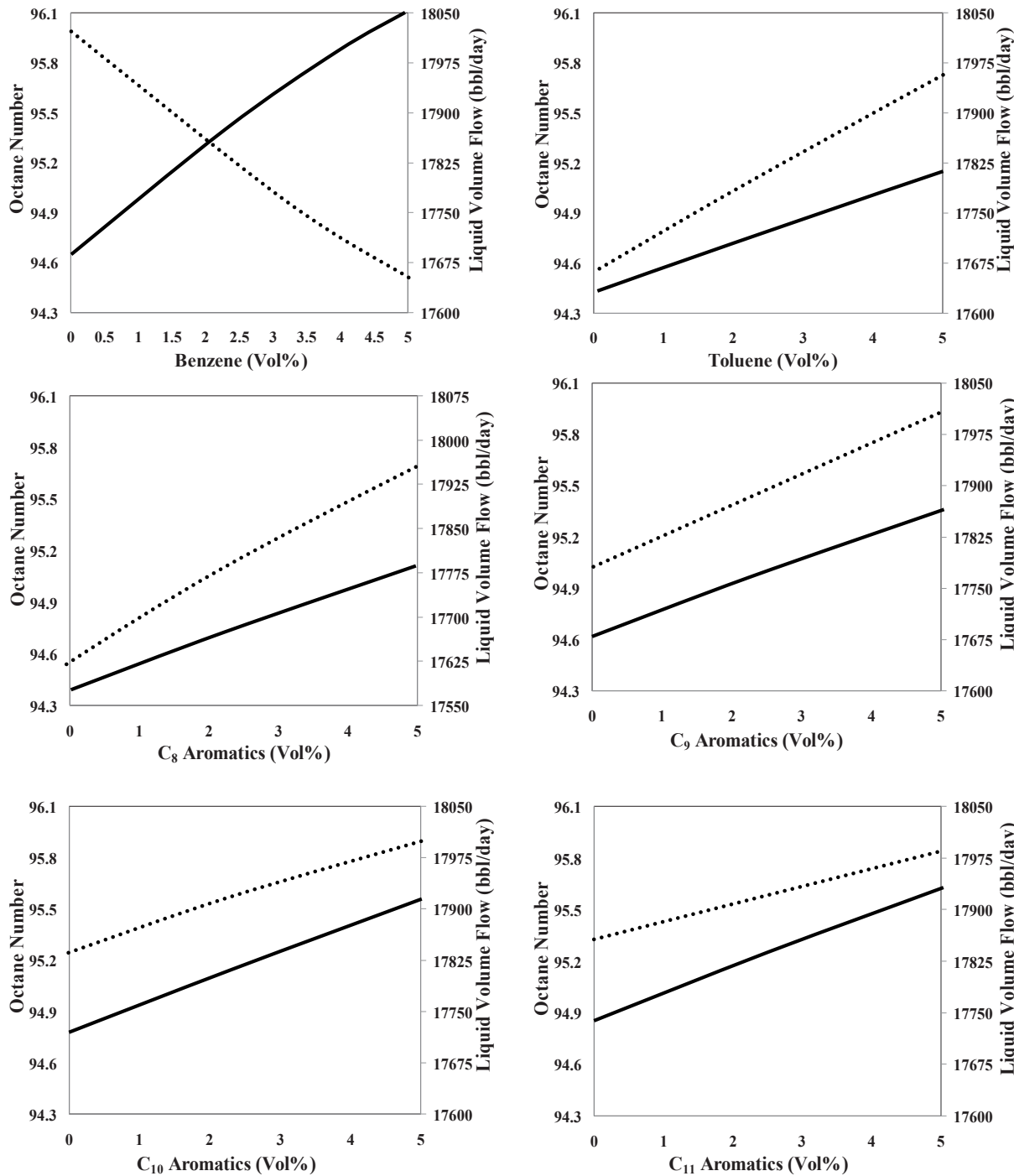
در مورد هیدروکربن‌های ۶ کربنه، دبی جریان کاهش یافته است. با افزایش هیدروکربن‌های ۶, ۸, ۱۰ و ۱۱ کربنه عدد اکтан افزایش و با افزایش هیدروکربن‌های ۷ کربنه، عدد اکтан کاهش یافته است. در مورد هیدروکربن‌های ۹ کربنه، عدد اکтан ثابت می‌باشد.

خوراک نفتای سنگین، بیشتر حاوی هیدروکربن‌های ۹ و ۱۱ کربنه می‌باشند. در آنالیز خوراک نفتای سنگین، مشاهده شده است که سهم هیدروکربن‌های نفتی نسبت به خوراک نفتا واحد تقطیر مستقیم بیشتر بوده است. با توجه به نتایج شکل‌ها می‌توان نتیجه گرفت، در صورتیکه تمام محصول نفتای سنگین تولید شده واحد آیزوماکس پالایشگاه اصفهان به خوراک ورودی تزریق گردد، عدد اکтан و دبی جریان محصول نهایی افزایش نسبی خواهد یافت.

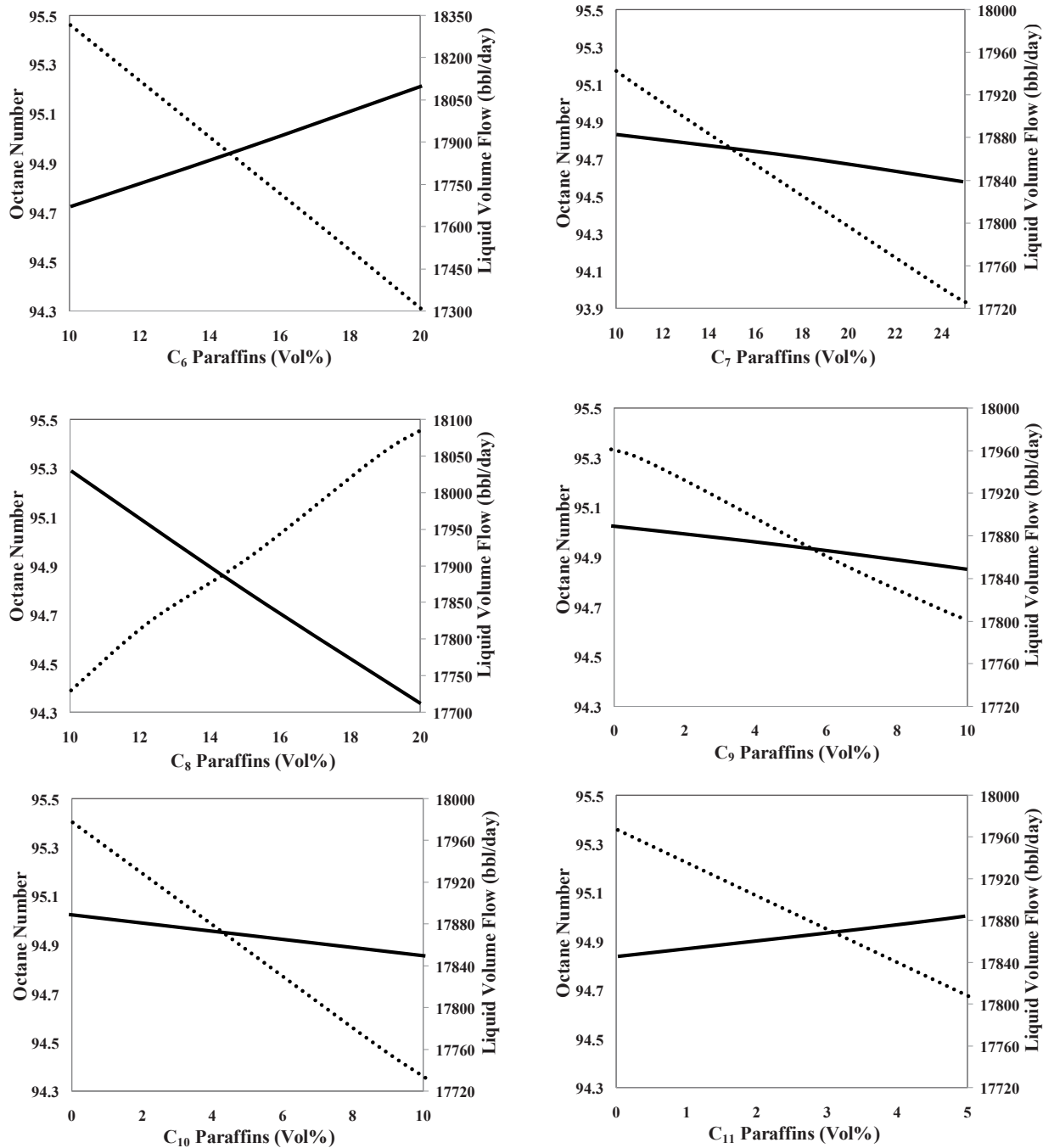
اگرچه نمودارهای شکل (۲-۴) بطور دقیق میزان افزایش یا کاهش مقدار خواص محصول در تمامی اجزای خوراک را نشان می‌دهد. ولی در واحدهای عملیاتی، افزایش یا کاهش هر کدام از گروههای خوراک از قبیل آromاتیکی، نفتی و پارافینی، سبب افزایش یا کاهش تقریبی یکنواخت اکثر اجزاء آن گروه در خوراک می‌گردد. بنابراین افزایش غلظت آromاتیک‌ها در خوراک بصورت برآیند کلی تاثیر مثبت بر خواص محصولات از جمله عدد اکтан و دبی جریان دارد و این بدین معناست که افزایش آromاتیک‌ها باعث این نمی‌شود که آromاتیک‌ها بیشتر به سمت تولید نفت

شکل (۲) اثر توزیع حجمی ترکیبات مختلف خوراک آromاتیکی بر عدد اکтан و دبی جریان محصول نهایی را نشان می‌دهد که در آن در اثر افزایش درصد حجمی آromاتیک‌های ۷ تا ۱۱ کربنه، عدد اکтан و دبی جریان به صورت خطی افزایش می‌یابد.

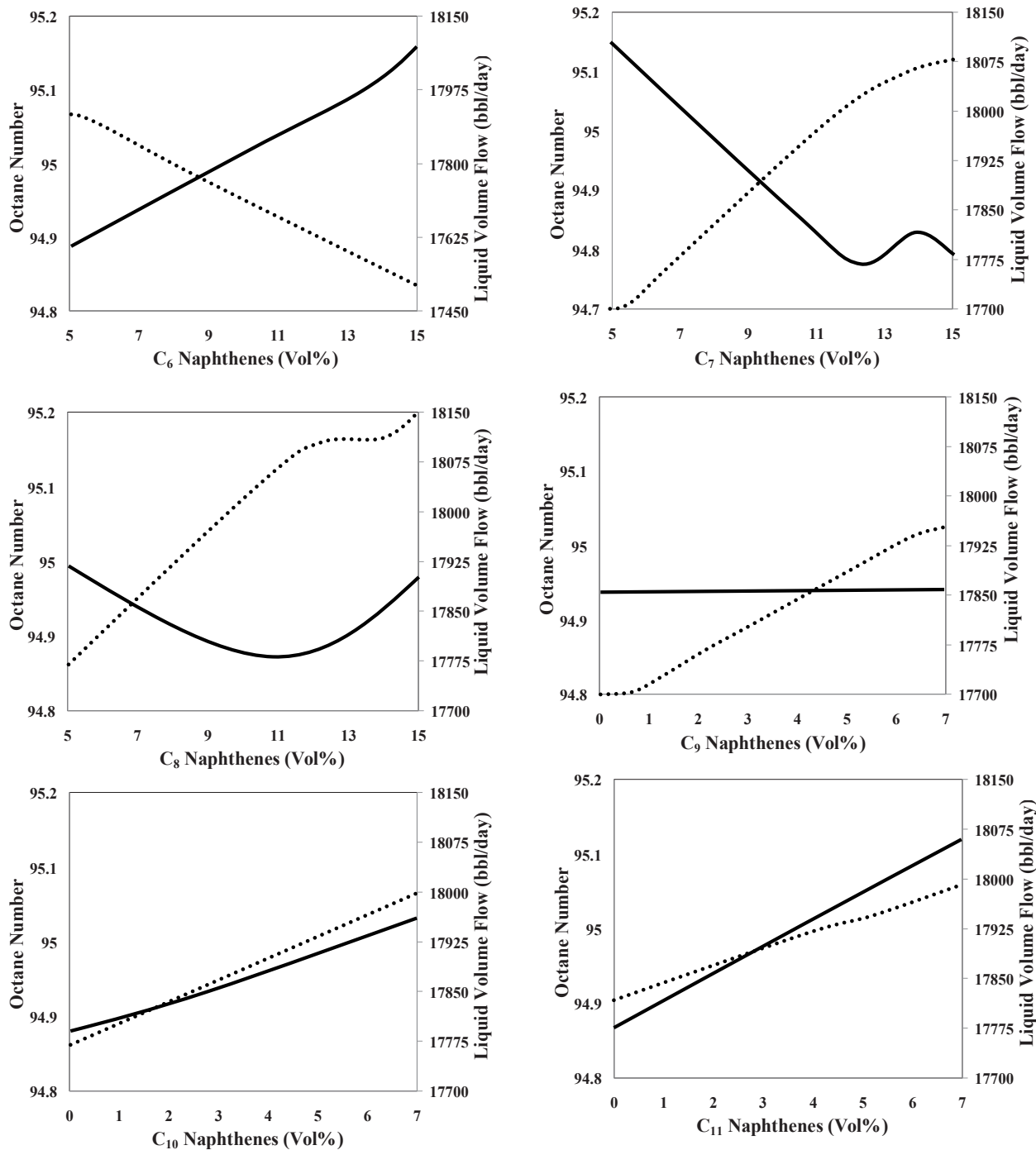
تأثیر بنزن در خوراک، روی ویژگی‌های محصول نهایی تاثیر متفاوتی نسبت به سایر ترکیبات آromاتیکی نشان داده است. با افزایش بنزن در خوراک، عدد اکтан به میزان چشمگیری افزایش و دبی جریان کاهش یافته است. شکل (۳)، اثر توزیع حجمی ترکیبات مختلف خوراک پارافینی بر عدد اکтан و دبی جریان محصول نهایی را نشان می‌دهد. با افزایش هیدروکربن‌های ۶, ۷, ۹, ۱۰ و ۱۱ کربنه، دبی جریان محصول نهایی کاهش می‌یابد. در مورد پارافین‌های ۶ کربنه این کاهش چشمگیرتر بوده است. در مورد هیدروکربن‌های ۸ کربنه، دبی جریان افزایش یافته است. با افزایش هیدروکربن‌های ۱۰ و ۱۱ کربنه، عدد اکтан افزایش و با افزایش هیدروکربن‌های ۷, ۸ و ۹ کربنه، عدد اکтан کاهش یافته است. در واقع اجزای تشکیل دهنده پارافین‌ها در خوراک، رفتار متفاوتی از خود نشان دادند. شکل (۴)، اثر توزیع حجمی ترکیبات مختلف خوراک نفتی بر عدد اکтан و دبی جریان محصول نهایی را نشان می‌دهد. با افزایش هیدروکربن‌های ۷, ۸, ۹, ۱۰ و ۱۱ کربنه، دبی جریان محصول نهایی افزایش می‌یابد.



شکل ۲: اثر ترکیبات آروماتیکی خوراک ورودی بر عدد اکتان و دبی جریان محصول نهایی



شکل ۳: اثر ترکیبات پارافینی خوراک ورودی بر عدد اکتان و دی جریان محصول نهایی



شکل ۴: اثر ترکیبات نفتی خوراک ورودی بر عدد اکتان و دبی جریان محصول نهایی



می‌یابد. به دلیل اینکه با افزایش این پارامتر، شدت فعالیت کاتالیست و انتخاب پذیری آروماتیک‌ها افزایش می‌یابد. واکنش تبدیل نفتن به آروماتیک‌ها یک واکنش گرم‌آگیر می‌باشد که افزایش دما برای تولید آروماتیک‌ها مورد دلخواه می‌باشد پس افزایش دما منجر به افزایش بازدهی آروماتیک‌ها نیز می‌گردد. از معایب افزایش دما، تشکیل نقاط داغ در داخل راکتور به دلیل افزایش سرعت واکنش هیدروکراکینگ و افزایش سرعت تشکیل کک روی سطح کاتالیست می‌باشد. پس نهایتاً در افزایش دما دچار محدودیت می‌باشیم. اگرچه افزایش دما منجر به افزایش بازدهی آروماتیک‌ها می‌شود ولی ازسوی دیگر باعث کاهش بازدهی پارافین‌ها و نفتن‌ها در محصول می‌گردد و نهایتاً منجر به کاهش نرخ جریان محصول می‌شود.

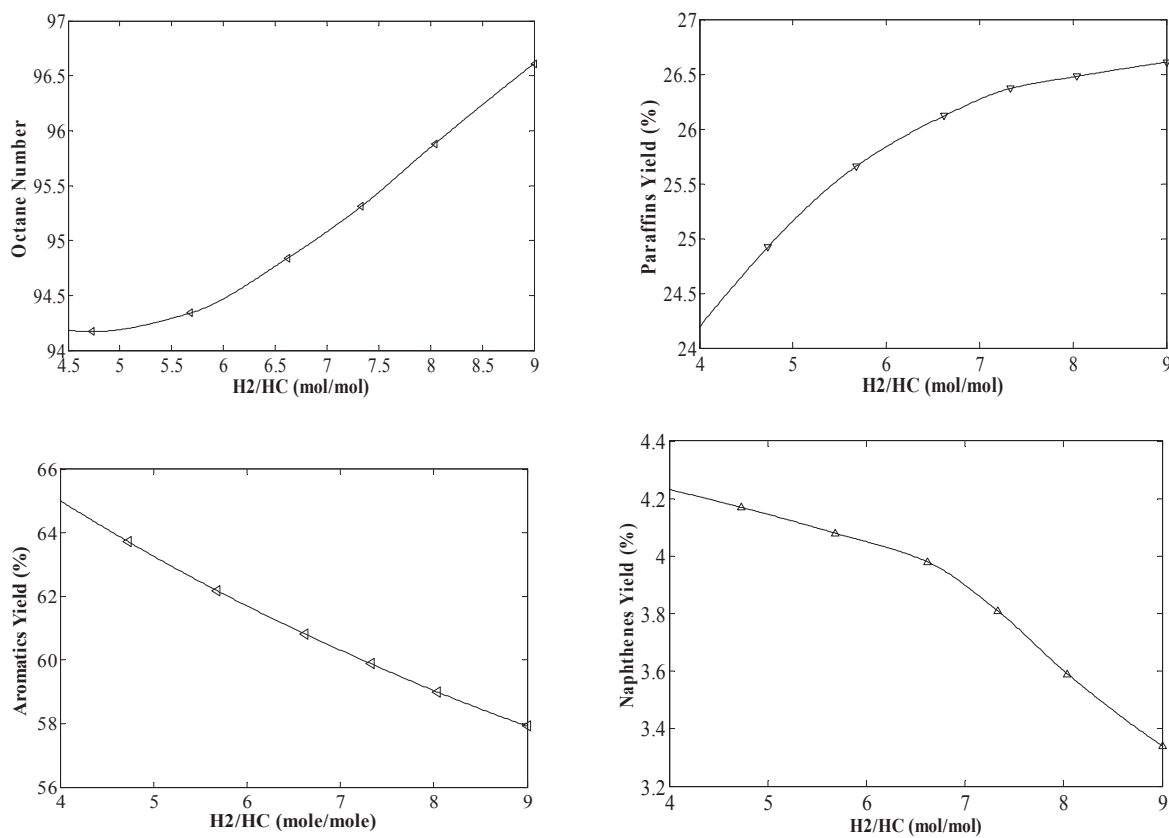
نتیجه‌گیری

بر اساس شکل‌ها و آنالیز خوراک نفتای سنگین، نتایج نشان داد، چنانچه جریان نفتای سنگین واحد آیزوماکس در خوراک افزایش یابد، عدد اکتان و دی‌جی‌ریان محصول نهایی افزایش می‌یابد. البته اثر آن بر روی سرعت غیر فعال شدن کاتالیست باید مورد بررسی قرار گیرد. نرخ جریان بنزن در خوراک باید مورد کنترل قرار بگیرد زیرا خصیت‌های محصول نهایی را شدیداً مورد تغییر قرار می‌دهد. در این مطالعه، تاثیر ترکیبات متفاوت خوراک بر روی خواص محصول مورد بررسی قرار گرفت و تاثیر اجزای خوراک قابل مشاهده می‌باشد. در برآیند کلی، خوراک دارای آروماتیک و نفتن بیشتر بر خلاف پارافین‌ها، سبب افزایش خواص محصول می‌شود.

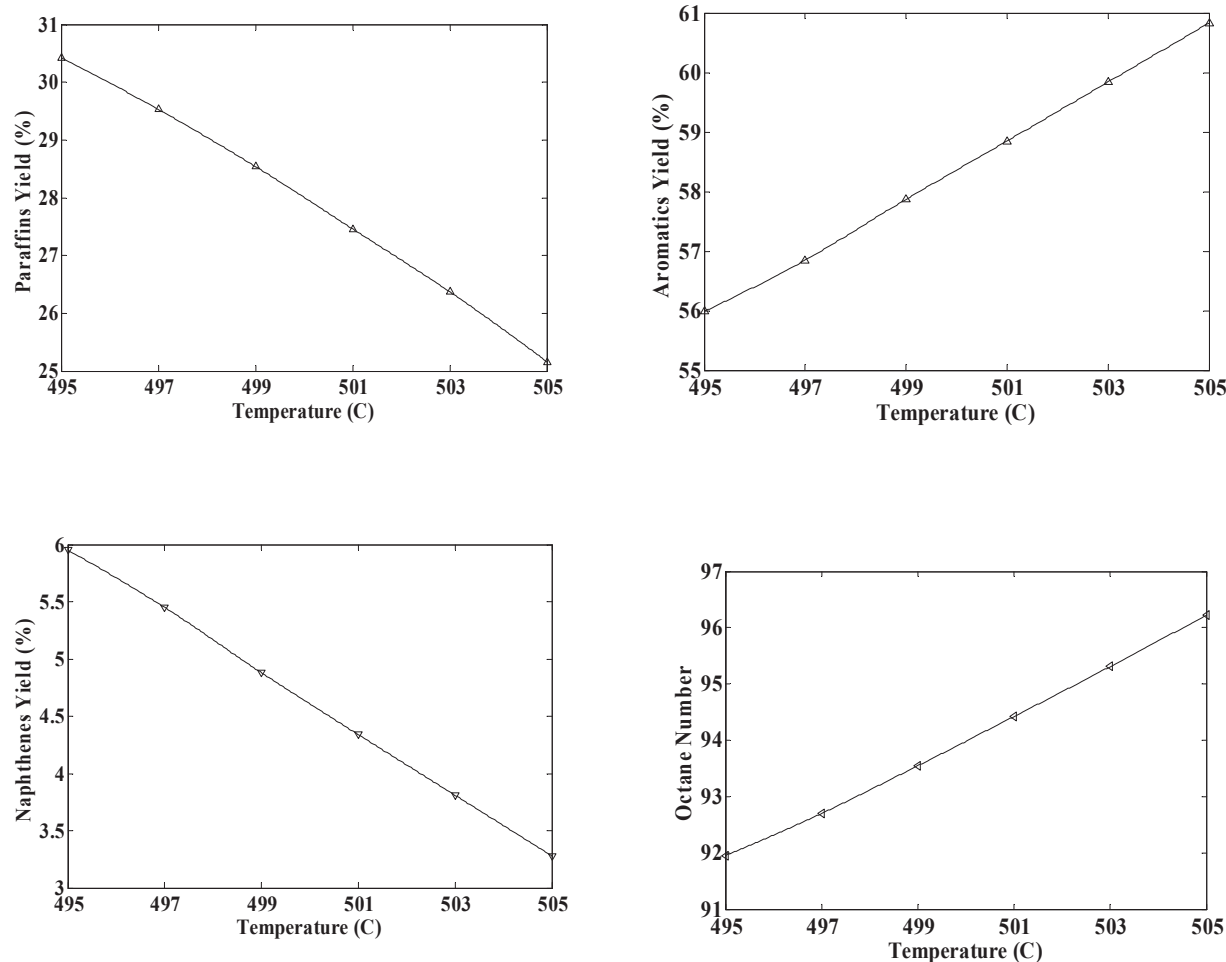
یا به سمت واکنش هیدروکراکینگ و تبدیل به پارافین‌های سبک بروند. همچنین در برآیند کلی، افزایش پارافین‌ها در خوراک تاثیر منفی بر خواص محصول دارد و این بدین معناست که افزایش پارافین‌ها باعث این نمی‌شود که پارافین‌ها بیشتر به سمت واکنش تولید نفتن‌ها و نهایتاً تولید آروماتیک‌ها بروند. دریک خوراک با آروماتیک یکسان، افزایش نفتن‌ها نسبت به پارافین‌ها عملکرد بهتری در خواص محصول ایجاد می‌کند و این بدین معناست که در میان واکنش هیدروکراکینگ نفتن‌ها و واکنش برگشت‌پذیر نفتن‌ها به پارافین‌ها، نهایتاً نفتن‌ها بیشتر به سمت تولید آروماتیک‌ها می‌روند.

شکل (۵)، تاثیر تغییرات نسبت H_2/HC در LHSV ثابت، بر روی عدد اکتان و بازدهی محصولات آروماتیکی، نفتی و پارافینی را نشان می‌دهد. با افزایش این نسبت در خوراک، عدد اکتان محصولات افزایش یافته است. به دلیل اینکه با افزایش این نسبت، انتخاب‌پذیری آروماتیک‌ها روی سطح فعال کاتالیست افزایش می‌یابد. در واقع، حضور هیدروژن برای پایداری و سایت فعال کاتالیست نیاز ضروری می‌باشد. از سوی دیگر، با افزایش این نسبت، میزان نرخ جریان هیدروکربن‌ها در خوراک کاهش می‌یابد که با توجه سینتیک واکنش‌ها، سبب کاهش بازدهی محصولات آروماتیکی و نفتی می‌گردد. اگرچه باعث افزایش نسبی بازدهی پارافین‌ها می‌شود که این بدلیل سینتیک واکنش تبدیل نفتن-ها به پارافین‌ها در حضور هیدروژن می‌باشد.

شکل (۶) تاثیر تغییرات دما بر روی عدد اکتان و بازدهی محصولات آروماتیکی، نفتی و پارافینی را نشان می‌دهد. با افزایش دما، عدد اکتان افزایش



شکل ۵: اثر نسبت H_2/HC خوراک بر Yield محصولات آروماتیکی، نفتی و پارافینی و عدد اکتان محصول
(Yield = kg/kg Feed * 100)



شکل ۶: اثر دما بر Yield محصولات آروماتیکی، نفتی و پارافینی و عدد اکتان محصول
(Yield = kg/kg Feed *100)

T: دما (°R)

n: تعداد اتم‌های کربن

R: ثابت گازها (Btu/mol°R)

N: تعداد مول

P_t: فشار کل (اتمسفر)

سرعت فضایی ساعتی مایع:

LHSV: Liquid Hourly Space Velocity

علایم و نشانه‌های نمودارها:

Octane number: عدد اکتان

Paraffins: پارافین‌ها

Liquid Volume Flow: جریان حجمی مایع

Naphthenes: نفتن‌ها

Vol (%): درصد حجمی غلظت

Aromatics: آراماتیک‌ها

bbl/day: روز/ بشکه

Temperature: دما

C_n: تعداد کربن‌ها

Benzene: بنزن

Toluene: تولوئن

نتایج مدل اسمیت در شروع راهاندازی واحد با داده‌های واقعی سازگاری نداشت و همچنین تاثیر دما و نسبت H₂/HC بر روی بازدهی محصولات آراماتیکی، نفتی و پارافینی مورد بررسی قرار گرفت.

تقدیر و تشکر

از کلیه کارکنان واحد تبدیل کاتالیستی پالایشگاه اصفهان از جمله مهندس جوزقیان(کارمند اداره مهندسی) و آقای خانی(کارمند اتاق کنترل) در جهت همکاری داده‌های عملیاتی و همچنین از آقای مهدی قنبری دانشجوی کارشناسی ارشد جهت مشاوره تقدیر و تشکر بعمل می‌آید.

علایم و نشانه‌ها

k: ثابت سرعت واکنش رفت

p: فشار جزیی (اتمسفر)

K: ثابت تعادل واکنش

E_a: انرژی فعال سازی (Btu/mol)

k^o: ضریب فرکانسی واکنش رفت (ضریب آرنیوس)
 F a r a y a n d n o



منابع

1. George J.A., Abdullah M.A., Jose M.P., Catalytic Naphtha Reforming, Second Ed., Marrcel Dekker Inc, New York, 2004.
2. Smith R.B., kinetic analysis of naphtha reforming with platinum catalyst, Chem.Eng.Prog. 55, 1959, pp. 76 – 80.
3. Zhorov Y.M, Mathematical Description of Platforming for Optimization of a Process, Kinetica i Kataliz. 6, 1965, pp. 1092-1098.
4. Henningsen J., Catalytic Reforming, Chem.Eng. 15, 1970, pp. 1073-1087.
5. Marin G.B., Froment G.F., The Development and Use of Rate Equations for Catalytic Refinery Processes, EFCE Publ. 2, 1983, pp. 117.
6. Kmak W.S., A Kinetic Simulation Model of the Power Forming Process, Aiche National Meeting, Houston, TX, 1972.
7. Froment G.F., Modelling of Catalytic Reforming Unit, Chem.Eng.Sci. 42, 1987, pp. 1073-1087.
8. Taskar U., Riggs B., Modelling and Optimization of Semi Regenerative Catalytic Naphtha Reformer, Aiche J. 43, 1997, pp. 740-753.
9. Padmavathi G., Chaudhuri KK., Modeling and Simulation of Commercial Catalytic Naphtha Reformers, J.Chem. Eng. 75, 1997, pp. 930-937.
10. Ancheyta J., Simulation of Catalytic Reforming unit, Energy And Fuels. 15, 2001, pp. 887-893.
11. Liang K.M., GUO H.Y., Pan Sh.W., A Study On Naphtha Catalytic Reforming Reactor Simulation And Analysis, Journal Of Zhejiang University Science. 6, 2005, pp. 590-596.
12. Mohaddeci S.R., Sadighi S., Bahmani M., Optimization of Catalyst Distribution in the Catalytic Naphtha Reformer of Tehran Refinery, Petroleum & Coal. 50, 2008, pp. 60-68.
13. Mohaddeci S.R., Sadighi S., Zahedi S., Bonyad H., Reactor Modeling & Simulation of Catalytic Reforming Process, Petroleum & Coal. 48, 2006, pp. 28-35.
14. Petro-SIM User Guide, KBC Advanced Technologies, KBC PROFIMATIC.